

УДК 681.7.068

Скубак О.М., к.т.н. (Державний університет інформаційно-комунікаційних технологій)

## КОМПОНЕНТИ ДЕФОРМАЦІЇ ОСЕРДЯ ОПТИЧНОГО КАБЕЛЯ МЕРЕЖ ДОСТУПУ

**Скубак О.М. Компоненти деформації осердя оптичного кабелю мереж доступу.** В роботі розглянуто поведінку оптичного кабелю при зовнішніх навантаженнях. Отримано компоненти деформованого стану осердя оптичного кабелю мереж доступу.

**Ключові слова:** МЕРЕЖА ДОСТУПУ, ОПТИЧНИЙ КАБЕЛЬ, ДЕФОРМАЦІЯ

**Скубак А.Н. Компоненты деформации сердечника оптического кабеля сетей доступа.** В работе рассмотрено поведение оптического кабеля при внешних воздействиях. Получены компоненты деформированного состояния сердечника оптического кабеля сетей доступа.

**Ключевые слова:** СЕТЬ ДОСТУПА, ОПТИЧЕСКИЙ КАБЕЛЬ, ДЕФОРМАЦИЯ

**Skubak O.M. Components of the core deformation of the optical cable access networks.** In this paper the behavior of the optical cable by external actions is considered. The components of the strain state of core of access networks optical cable are produced.

**Keywords:** ACCESS NETWORK, OPTICAL CABLE, DEFORMATION

Оскільки в мережах доступу FTTH використовують оптичний кабель (ОК) з осердям стрічкового типу, у якого осердя закручене [1, 2], то для дослідження механічних характеристик даного типу кабелю скористаємось методами нелінійної теорії закручених стержнів. В даній статті розглядається ОК, що містить осердя стрічкового типу. Дане осердя можна розглядати як суцільний стержень з квадратним поперечним перерізом та природною круткою (рис. 1).

Розглянемо довільну просторову криву  $\Gamma$ , векторне рівняння якої має вигляд:  $\vec{r} = \vec{r}(s)$ , де  $s$  – довжина дуги.

В прямокутній декартовій системі координат:

$$\vec{r}(s) = x(s)\vec{i} + y(s)\vec{j} + z(s)\vec{k}.$$

**Умовимося:** додатній відлік дуги  $s$  беремо в напрямку зростання  $s$ ; система координат  $(x, y, z)$  і всі наступні вважаємо правими системами координат; форма заданого профілю поперечного перерізу незмінна по всій його довжині; поперечний переріз перпендикулярний в кожній точці кривої  $\vec{r} = \vec{r}(s)$  має дві осі симетрії.

Континуальна множина профілів “нанизаних” на криву  $\vec{r} = \vec{r}(s)$  своїм геометричним центром представляє собою стержень з певним профілем поперечного перерізу. Особливістю нашого стержня є наявність природної крутки. Іншими словами, під просторово викривленим стержнем з природною круткою будемо розуміти такий, що отримуємо в результаті руху по заданій кривій  $\Gamma$  профілю заданої форми, що рухається по цій кривій з певними лінійною та кутовою швидкостями.

Для визначення міри закрученості стержня розглянемо в площині поперечного перерізу дві ортонормовані системи координат, центри яких співпадають з центром профілю. Оортами однієї них є базис Френе  $(\vec{t}, \vec{v}, \vec{\beta})$ , а другої – локальний базис  $(\vec{t}, \vec{v}_1, \vec{\beta}_1)$ , рис. 2. Тоді мірою закрученості стержня будемо вважати кут  $\varphi$  між оортами  $\vec{v}$  та  $\vec{v}_1$ . Додатній напрям відліку  $\varphi$  вважаємо проти годинникової стрілки.

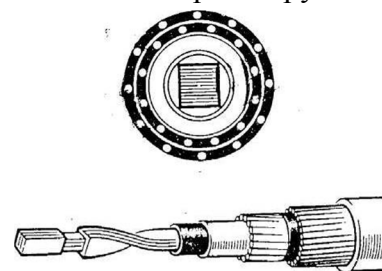


Рис. 1. Поперечний переріз та загальний вид ОК

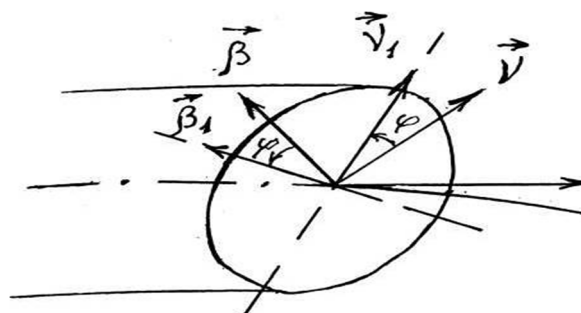


Рис. 2. Ортонормовані системи координат поперечного перерізу стержня

Інколи замість кута  $\varphi$  використовують поняття відносної закрученості стержня  $\psi_0 = \frac{d\varphi}{ds}$ .

Для прямолінійного стержня кут крутки можна ввести як кут між двома осями нерухомої системи координат та головними центральними осями поперечного перерізу.

Зі зміною  $s$  базис  $(\vec{\tau}, \vec{v}_1, \vec{\beta}_1)$  буде обертатись по відношенню до попереднього положення. Позначимо через  $\vec{\Omega} = \vec{\Omega}(s)$  миттєву кутову швидкість вказаного повороту та покладемо:

$$\vec{\Omega} = p_1 \vec{\tau} + q_1 \vec{v}_1 + r_1 \vec{\beta}_1. \quad (1)$$

Очевидно, що вектор  $\vec{\Omega}$  залежить від кручення просторової кривої  $\vec{r}(s)$  та від природної крутки  $\phi$ .

Встановимо геометричний зміст компонент  $p_1; q_1; r_1$ . Розглянемо відомі формули Серре-

Френе: 
$$\frac{d\vec{v}_1}{ds} = \frac{\vec{\beta}}{T} - \frac{\vec{\tau}}{R}; \frac{d\vec{\beta}}{ds} = -\frac{\vec{v}}{T}, \quad (2)$$

де  $R$  – радіус кривизни;  $T$  – радіус кручення кривої.

З відомої формули Ейлера маємо:

$$\frac{d\vec{\tau}}{ds} = \vec{\Omega} \times \vec{\tau}; \frac{d\vec{v}_1}{ds} = \vec{\Omega} \times \vec{v}_1; \frac{d\vec{\beta}_1}{ds} = \vec{\Omega} \times \vec{\beta}_1; \quad (3)$$

Після підстановки (1) в (3) маємо:

$$\frac{d\vec{\tau}}{ds} = r_1 \vec{v}_1 - q_1 \vec{\beta}_1; \frac{d\vec{v}_1}{ds} = p_1 \vec{\beta}_1 - r_1 \vec{\tau}; \frac{d\vec{\beta}_1}{ds} = q_1 \vec{\tau} - p_1 \vec{v}_1 \quad (4)$$

З рис. 2 бачимо, що  $\vec{v}_1 = \cos \phi \cdot \vec{v} + \sin \phi \cdot \vec{\beta}; \quad \vec{\beta}_1 = -\sin \phi \cdot \vec{v} + \cos \phi \cdot \vec{\beta}. \quad (5)$

Використовуючи формули Френе (2) та співвідношення (4), (5) одержимо:

$$p_1 = \frac{1}{T} + \frac{d\phi}{ds}; \quad q_1 = \frac{\sin \phi}{R}; \quad r_1 = \frac{\cos \phi}{R}. \quad (6)$$

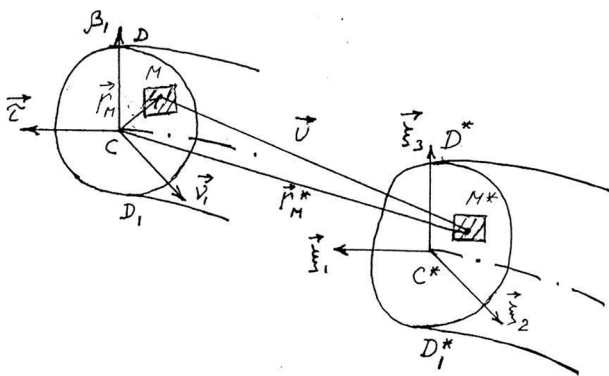


Рис. 3. Ортонормовані базиси перерізу в недеформованому та деформованому стані

Розглянемо стержень в початковій недеформованій конфігурації. Вибираємо довільну точку перерізу  $M$ , координати якої в базисі  $(\vec{\tau}, \vec{v}_1, \vec{\beta}_1)$  позначимо  $M(0, \eta, \zeta)$  (рис. 3).  $\vec{R}$  – радіус-вектор точки  $M$  в нерухомій системі координат. Очевидно, що

$$\vec{R} = \vec{r} + \eta \vec{v}_1 + \zeta \vec{\beta}_1. \quad (7)$$

Під дією деякої системи зовнішніх сил відбувається деформація стержня. Точка  $M$  переходить в  $M^*$  з радіусом-вектором  $\vec{R}^*$ .

Позначимо через  $\vec{U}$  – вектор переміщення точки  $M$ .

Тоді 
$$\vec{R}^* = \vec{R} + \vec{U}; \quad d\vec{R}^* = d\vec{R} + d\vec{U}; \quad (8)$$

$$d\vec{R} = \frac{\partial \vec{R}}{\partial s} ds + \frac{\partial \vec{R}}{\partial \eta} d\eta + \frac{\partial \vec{R}}{\partial \zeta} d\zeta.$$

Нехай 
$$\vec{U} = U_1 \vec{\tau} + U_2 \vec{v}_1 + U_3 \vec{\beta}_1; \quad (9)$$

$$d\vec{U} = \frac{\partial \vec{U}}{\partial s} ds + \frac{\partial \vec{U}}{\partial \eta} d\eta + \frac{\partial \vec{U}}{\partial \zeta} d\zeta.$$

Продиференціювавши (7), (9) з урахуванням співвідношень (4), (8) одержимо:

$$d\vec{R} = (1 + m_{11}) ds \vec{\tau} + (m_{12} ds + d\eta) \vec{v}_1 + (m_{13} ds + d\zeta) \vec{\beta}_1;$$

$$d\vec{U} = \left( e_{11}ds + \frac{\partial U_1}{\partial \eta} d\eta + \frac{\partial U_1}{\partial \zeta} d\zeta + \right) \vec{e}_1 + \left( e_{12}ds + \frac{\partial U_2}{\partial \eta} d\eta + \frac{\partial U_2}{\partial \zeta} d\zeta + \right) \vec{e}_2 + \left( e_{13}ds + \frac{\partial U_3}{\partial \eta} d\eta + \frac{\partial U_3}{\partial \zeta} d\zeta + \right) \vec{e}_3;$$

$$\vec{R}^* = \left( (1 + e_{11} + m_{11})ds + \frac{\partial U_1}{\partial \eta} d\eta + \frac{\partial U_1}{\partial \zeta} d\zeta + \right) \vec{e}_1 + \left( (e_{12} + m_{12})ds + \left( 1 + \frac{\partial U_2}{\partial \eta} \right) d\eta + \frac{\partial U_2}{\partial \zeta} d\zeta + \right) \vec{e}_2 +$$

$$+ \left( (e_{13} + m_{13})ds + \frac{\partial U_3}{\partial \eta} d\eta + \left( 1 + \frac{\partial U_3}{\partial \zeta} \right) d\zeta + \right) \vec{e}_3;$$

де  $m_{11} = -\eta r_1 + \zeta q_1; m_{12} = -p_1 \zeta; m_{13} = p_1 \eta; e_{11} = \frac{\partial U_1}{\partial s} - U_2 r_1 + U_3 q_1;$

$$e_{12} = \frac{\partial U_2}{\partial s} - U_2 r_1 - U_3 q_1; e_{13} = \frac{\partial U_3}{\partial s} - U_1 q_1 + U_2 p_1.$$

Визначимо компоненти деформованого стану стержня. Позначимо через  $d\tilde{s}^2$  квадрат відстані між двома нескінченно близькими точками до деформації:

$$d\tilde{s}^2 = d\vec{R} \cdot d\vec{R}; d\tilde{s}^2 = \left[ (1 + m_{11})^2 + m_{12}^2 + m_{13}^2 \right] ds^2 + d\eta^2 + d\zeta^2 + 2m_{12}^2 dsd\eta + 2m_{13}^2 dsd\zeta.$$

Тоді відповідно:

$$ds^{*2} = d\vec{R}^* \cdot d\vec{R}^*;$$

$$ds^{*2} = \left[ (1 + e_{11} + m_{11})^2 + (e_{12} + m_{12})^2 + (e_{13} + m_{13})^2 \right] ds^2 +$$

$$+ \left[ \left( \frac{\partial U_1}{\partial \eta} \right)^2 + \left( 1 + \frac{\partial U_2}{\partial \eta} \right)^2 + \left( \frac{\partial U_3}{\partial \eta} \right)^2 \right] d\eta^2 + \left[ \left( \frac{\partial U_1}{\partial \zeta} \right)^2 + \left( 1 + \frac{\partial U_2}{\partial \zeta} \right)^2 + \left( \frac{\partial U_3}{\partial \zeta} \right)^2 \right] d\zeta^2 +$$

$$+ 2 \left[ (1 + e_{11} + m_{11}) \frac{\partial U_1}{\partial \eta} + (e_{12} + m_{12}) \left( 1 + \frac{\partial U_2}{\partial \eta} \right) + (e_{13} + m_{13}) \frac{\partial U_3}{\partial \eta} \right] dsd\eta +$$

$$+ 2 \left[ (1 + e_{11} + m_{11}) \frac{\partial U_1}{\partial \zeta} + (e_{12} + m_{12}) \frac{\partial U_2}{\partial \zeta} + (e_{13} + m_{13}) \left( 1 + \frac{\partial U_3}{\partial \zeta} \right) \right] dsd\zeta +$$

$$+ 2 \left[ \frac{\partial U_1}{\partial \eta} \frac{\partial U_1}{\partial \zeta} + \left( 1 + \frac{\partial U_2}{\partial \eta} \right) \frac{\partial U_2}{\partial \zeta} + \frac{\partial U_3}{\partial \eta} \left( 1 + \frac{\partial U_3}{\partial \zeta} \right) \right] d\eta d\zeta.$$

Компоненти деформації стержня мають вигляд:

$$ds^* - d\tilde{s}^* = 2\varepsilon_{11} ds^2 + 2\varepsilon_{22} d\eta^2 + 2\varepsilon_{33} d\zeta^2 + 2\varepsilon_{12} dsd\eta + 2\varepsilon_{13} dsd\zeta + 2\varepsilon_{23} d\eta d\zeta,$$

де  $\varepsilon_{11} = (1 + m_{11})e_{11} + m_{12}e_{12} + m_{13}e_{13} + \frac{1}{2}(e_{11}^2 + e_{12}^2 + e_{13}^2);$

$$\varepsilon_{22} = \frac{\partial U_2}{\partial \eta} + \frac{1}{2} \left[ \left( \frac{\partial U_1}{\partial \eta} \right)^2 + \left( \frac{\partial U_2}{\partial \eta} \right)^2 + \left( \frac{\partial U_3}{\partial \eta} \right)^2 \right];$$

$$\varepsilon_{33} = \frac{\partial U_3}{\partial \zeta} + \frac{1}{2} \left[ \left( \frac{\partial U_1}{\partial \zeta} \right)^2 + \left( \frac{\partial U_2}{\partial \zeta} \right)^2 + \left( \frac{\partial U_3}{\partial \zeta} \right)^2 \right];$$

$$\varepsilon_{12} = e_{12} + (1 + e_{11} + m_{11}) \frac{\partial U_1}{\partial \eta} + (e_{12} + m_{12}) \frac{\partial U_2}{\partial \eta} + (e_{13} + m_{13}) \frac{\partial U_3}{\partial \eta};$$

$$\varepsilon_{13} = e_{13} + (1 + e_{11} + m_{11}) \frac{\partial U_1}{\partial \zeta} + (e_{12} + m_{12}) \frac{\partial U_2}{\partial \zeta} + (e_{13} + m_{13}) \frac{\partial U_3}{\partial \zeta}.$$

Отримані компоненти деформації дозволяють знайти прогини осердя при зовнішніх навантаженнях. При цьому важливу роль грає закрученість осердя.

Виходячи з структури поперечного перерізу ОК, очевидно, що в процесі згину осердя його прогини нерівнозначні відносно осей симетрії перерізу. Це проявляється в тому, що при однакових умовах щодо точок опори ОК стріла його прогину в різних площинах вигину буде

різною, або ж при однакових радіусах вигину в різних площинах будуть значно відрізнятися механічні навантаження на осердя, в тому числі і на оптичне волокно, як елемент осердя. Це приводить до появи підвищених або навіть недопустимих напружень при згині в одному з напрямків. Поява підвищених напружень приводить до додаткових деформацій і збільшенню мікротріщин, що являється небажаним для ОК з точки зору строку його експлуатації. При цьому змінюються як оптичні, так і механічні властивості волокна.

Природна крутка дає рівноправ'я згину в двох площинах симетрії поперечного перерізу, що поліпшує його механічні властивості. Природна крутка дозволяє уникнути надмірних навантажень на оптичні волокна, які могли б виникнути при згинах ОК в одній з площин симетрії, поліпшує гнучкість кабелю (зменшує значення допустимого радіусу вигину) при умові збереження однорідності гнучкості в усіх напрямках згину.

### Література

1. Семенов Н.А. Оптические кабели связи: Теория и расчет / Н.А. Семенов. – М.: Радио и связь, 1981. – 152 с.
2. Скляр О.К. Волоконно-оптические сети и системы связи: Учебное пособие / О.К. Скляр. – СПб.: Издательство «Лань», 2010. – 272 с.
3. Илюхин А.А. Пространственные задачи нелинейной теории упругих стержней. / А.А. Илюхин. – К.: Наукова думка, 1979. – 216 с.
4. Скубак О.М. Деякі аспекти механічних характеристик кабелів зв'язку, які мають осердя з природною круткою / О.М. Скубак // Вісник Державного університету інформаційно-комунікаційних технологій. – 2011. – Т.9, №1. – С. 100-106.

УДК 621.315.592

Зуев В.О., д.ф.-м.н.; Горыня Л.М. к.ф.-м.н.; Кременецкая Я.А. к.т.н.  
(Государственный университет информационно-коммуникационных технологий)

### ФОТОДИОДЫ С БАРЬЕРОМ ШОТТКИ НА ОСНОВЕ CdP<sub>2</sub>

Зуев В.О., Горыня Л.М., Кременецкая Я.А. Фотодиоды с барьером Шоттки на основе CdP<sub>2</sub>. Розроблений фотодіод з бар'єром Шоттки на основі CdP<sub>2</sub>. Експериментально спостерігалась висока фоточутливість фотодіода.

**Ключові слова:** БАР'ЄР ШОТТКИ, ФОТОДИОД, ПОВЕРХНЯ, РЕКОМБІНАЦІЯ

Зуев В.А., Горыня Л.М., Кременецкая Я.А. Фотодиоды с барьером Шоттки на основе CdP<sub>2</sub>. Разработан фотодиод с барьером Шоттки на основе CdP<sub>2</sub>. Экспериментально наблюдалась высокая фоточувствительность фотодиода.

**Ключевые слова:** БАРЬЕР ШОТТКИ, ФОТОДИОД, ПОВЕРХНОСТЬ, РЕКОМБІНАЦІЯ

Zuev V.O., Horynia L.M., Kremets'ka Ya.A. CdP<sub>2</sub> Schottky barrier photodiodes. A photodiode is created with the Schottky barrier on the basis of CdP<sub>2</sub>. Experimentally there was a high a photosensitiveness of photodiode.

**Keywords:** SCHOTTKY BARRIER, PHOTODIODE, SURFACE RECOMBINATION.

**Введение.** Для приема оптической информации в волоконно-оптических линиях связи разрабатываются фотоприемники различного типа. Перспективным представляется использование кристаллов CdP<sub>2</sub> и фотодиодов на их основе.

Наличие инварианта Лифшица в гамильтониане, описывающем вещества со структурой D<sub>4</sub><sup>4</sup>, обуславливает флуктуационный фазовый переход при комнатных температурах и образование естественной сверхрешетки (СР) [1, 2]. Как следует из данных по конденсаторной фото-э.д.с. [2], разрушение СР начинается лишь при T ≥ 380 К. Как отмечалось в ряде работ, наличие СР различного типа стимулирует резкое повышение чувствительности фоторезисторов. Эти обстоятельства стимулировали исследования